

Численное моделирование динамики теплообмена модифицированным квадратичным полиномом Вольтерры*

С. В. СОЛОДУША

Институт систем энергетики им. Л.А. Мелентьева СО РАН, Иркутск, Россия
e-mail: solodusha@isem.sei.irk.ru

Доказана теорема существования решения некоторого парного двумерного интегрального уравнения Вольтерры I рода. Рассмотрен вопрос численного решения полиномиального уравнения Вольтерры I рода второй степени. Приводятся иллюстративные расчёты на примере эталонной динамической системы, описывающей процессы теплообмена.

Ключевые слова: интегральное уравнение Вольтерры I рода, моделирование, нелинейная динамическая система, автоматическое управление, теплообмен.

Введение

В теории математического моделирования нелинейных динамических систем хорошо известен универсальный аппарат функциональных рядов Вольтерры [1]. Полином Вольтерры N -й степени, дающий представление отклика $y(t)$ системы типа вход-выход на внешнее возмущение $x(t)$, имеет вид

$$y(t) = \sum_{\nu=1}^N \sum_{1 \leq i_1 \leq \dots \leq i_\nu \leq p} \int_0^t \dots \int_0^t K_{i_1, \dots, i_\nu}(t, s_1, \dots, s_\nu) x_{i_1}(s_1) \dots x_{i_\nu}(s_\nu) ds_1, \dots, ds_\nu, \\ t \in [0, T], \quad (1)$$

где $x(t) = (x_1(t), x_2(t), \dots, x_p(t))$ — вектор-функция времени, $y(t)$ — скалярная функция времени, причём $y(0) = 0$, $y(t) \in C_{[0, T]}^{(1)}$. В (1) ядра Вольтерры K_{i_1, \dots, i_ν} симметричны по тем переменным, которые соответствуют совпадающим индексам i_1, \dots, i_ν . Построить математическую модель в виде (1) — значит идентифицировать ядра Вольтерры по информации об откликах системы на те или иные тестовые входные сигналы.

Если система стационарна в том смысле, что её динамические характеристики остаются неизменными за время T переходного процесса, то вместо (1) используется модель

$$y(t) = \sum_{\nu=1}^N \sum_{1 \leq i_1 \leq \dots \leq i_\nu \leq p} \int_0^t \dots \int_0^t \hat{K}_{i_1, \dots, i_\nu}(s_1, \dots, s_\nu) x_{i_1}(t - s_1) \dots x_{i_\nu}(t - s_\nu) ds_1, \dots, ds_\nu, \\ t \in [0, T]. \quad (2)$$

*Работа выполнена при финансовой поддержке РФФИ (грант № 12-01-00722а).

Проблема применения аппарата рядов Вольтерры для моделирования технических (в частности, электротехнических и теплотехнических) систем рассмотрена в работах [2–5]. Из зарубежных источников отметим монографии [6–8] имеющие обширные списки библиографии.

Работы Института систем энергетики им. Л.А. Мелентьева (ИСЭМ) СО РАН в области идентификации ядер Вольтерры начались в 90-х годах прошлого века. В [9, 10] была предложена оригинальная методика идентификации ядер Вольтерры, базирующаяся на задании специальных многопараметрических семейств кусочно-постоянных тестовых входных сигналов. При этом задача идентификации сводится к решению линейных многомерных уравнений Вольтерры I рода с переменными верхними и нижними пределами (что отличает их от классических уравнений типа уравнений Вольтерры). Специфика таких уравнений позволяет находить решения в явном виде, а их сеточные аналоги допускают построение высокоэффективных вычислительных процедур, обладающих саморегуляризирующим свойством. Важный для приложений случай (2) при $N = 2$ исследовался в [11, 12]. В работах [13–15] изложено применение данного подхода для моделирования процессов теплообмена на установке ВТК (высокотемпературный контур) ИСЭМ СО РАН.

Статья продолжает исследования, начатые в [12–15]. В первом разделе рассмотрена проблема идентификации несимметричных ядер Вольтерры, во втором дано краткое описание соответствующего программного обеспечения и приводятся иллюстративные расчёты на примере моделирования процессов теплообмена, третий раздел посвящён численному решению полиномиальных уравнений Вольтерры I рода, связанных с задачей об определении входного сигнала $x(t)$, которому соответствует заданный выход $y(t)$.

1. Об одном способе идентификации несимметричных ядер Вольтерры

В работе [16] предложен алгоритм повышения точности моделирования нелинейной динамической системы полиномами Вольтерры в скалярном случае. В его основе — комбинация линейной нестационарной и билинейной стационарной составляющих. В случае $N = 2$ комбинация (1), (2) даёт уравнение

$$y(t) = \sum_{\mu=1}^p \int_0^t K_{\mu}(t, s) x_{\mu}(s) ds + \sum_{\mu=1}^p \int_0^t \int_0^t \hat{K}_{\mu\mu}(s_1, s_2) x_{\mu}(t - s_1) x_{\mu}(t - s_2) ds_1 ds_2 + \sum_{\mu=2}^p \sum_{\nu=1}^{\mu-1} \int_0^t \int_0^t \hat{K}_{\nu\mu}(s_1, s_2) x_{\nu}(t - s_1) x_{\mu}(t - s_2) ds_1 ds_2, \quad t \in [0, T]. \quad (3)$$

Наша задача — получить необходимые условия существования $\hat{K}_{\nu\mu}(s_1, s_2)$ в классе непрерывных на $\Omega_2 = \{s_1, s_2 / 0 \leq s_1, s_2 \leq T\}$ несимметричных функций.

Отметим, что процедуру разделения отклика моделируемой системы на составляющие $y^{\alpha r, \mu}$, $r = 1, 2$, обусловленные индивидуальным влиянием μ -й компоненты вектора $x(t)$, реализуют тестовые сигналы

$$x_{\mu}^{\alpha r, \mu}(t) = \alpha_{r, \mu}(I(t) - I(t - \omega)), \quad x_{\lambda}(t) = 0, \quad 0 \leq \omega \leq t \leq T, \quad (4)$$

где $I(t)$ — функция Хевисайда, $\lambda = \overline{1, p}$, $\lambda \neq \mu$. Вещественные числа $\alpha_{r,\mu} \neq 0$, $r = 1, 2$, $\alpha_{1,\mu} \neq \alpha_{2,\mu}$, $\mu = \overline{1, p}$, характеризуют высоту возмущающих воздействий по входу x_μ . Подстановка (4) в (3) приводит к системе двух линейных относительно K_μ и $\hat{K}_{\mu\mu}$ интегральных уравнений Вольтерры I рода с переменными верхними и нижними пределами интегрирования, при этом справедливы формулы обращения [16]

$$K_\mu(t, \omega) = \frac{\partial f_\mu(t, \omega)}{\partial \omega}, \quad 0 \leq \omega \leq t \leq T,$$

$$\hat{K}_{\mu\mu}(t, t - \omega) = \frac{1}{2} \left(\frac{\partial^2 f_{\mu\mu}(t, \omega)}{\partial t \partial \omega} + \frac{\partial^2 f_{\mu\mu}(t, \omega)}{\partial \omega^2} \right), \quad 0 \leq \omega \leq t \leq T,$$

где

$$f_\mu(t, \omega) = \frac{\alpha_{2,\mu}^2 y^{\alpha_{1,\mu}}(t, \omega) - \alpha_{1,\mu}^2 y^{\alpha_{2,\mu}}(t, \omega)}{\alpha_{1,\mu} \alpha_{2,\mu} (\alpha_{2,\mu} - \alpha_{1,\mu})}, \quad f_{\mu\mu}(t, \omega) = \frac{\alpha_{1,\mu} y^{\alpha_{2,\mu}}(t, \omega) - \alpha_{2,\mu} y^{\alpha_{1,\mu}}(t, \omega)}{\alpha_{1,\mu} \alpha_{2,\mu} (\alpha_{2,\mu} - \alpha_{1,\mu})},$$

причём из необходимого условия существования $\hat{K}_{\mu\mu}(s_1, s_2)$ в классе непрерывных на Ω_2 симметричных функций [11]

$$f_{\mu\mu}(t, \omega) = f_{\mu\mu}(t - \omega, -\omega)$$

следует равенство

$$\alpha_{1,\mu} + \alpha_{2,\mu} = 0.$$

Постановка и решение экстремальной задачи выбора $\alpha_\mu^* = \pm \alpha_{r,\mu}$ в (4) для идентификации ядер K_μ , $\hat{K}_{\mu\mu}$ в (3) приведены в [17].

Остановимся на проблеме восстановления на квадрате Ω_2 ядра $\hat{K}_{\nu\mu}(s_1, s_2)$. По аналогии с [12] рассмотрим две группы тестовых сигналов

$$x_\nu^{\beta\nu} = \beta_\nu(I(t) - I(t - \omega)), \quad x_\mu^{\beta\mu} = \beta_\mu I(t - \omega), \quad x_\lambda(t) = 0, \quad 0 \leq \omega \leq t \leq T, \quad (5)$$

$$x_\nu^{\beta\nu} = \beta_\nu I(t - \omega), \quad x_\mu^{\beta\mu} = \beta_\mu(I(t) - I(t - \omega)), \quad x_\lambda(t) = 0, \quad 0 \leq \omega \leq t \leq T, \quad (6)$$

где $\beta_\nu \neq 0$, $\beta_\mu \neq 0$ — амплитуды сигналов по входам x_ν , x_μ , $\mu = \overline{2, p}$, $\nu = \overline{1, \mu - 1}$, $\lambda = \overline{1, p}$, $\nu \neq \mu \neq \lambda$. Подстановка (5), (6) в (3) приводит к парному двумерному интегральному уравнению Вольтерры I рода относительно несимметричного на Ω_2 ядра $\hat{K}_{\nu\mu}$

$$\int_{t-\omega}^t ds_1 \int_0^{t-\omega} \hat{K}_{\nu\mu}(s_1, s_2) ds_2 = g_1^{\beta\nu\beta\mu}(t, \omega), \quad 0 \leq \omega \leq t \leq T, \quad (7)$$

$$\int_0^{t-\omega} ds_1 \int_{t-\omega}^t \hat{K}_{\nu\mu}(s_1, s_2) ds_2 = g_2^{\beta\nu\beta\mu}(t, \omega), \quad 0 \leq \omega \leq t \leq T, \quad (8)$$

где

$$g_1^{\beta\nu\beta\mu}(t, \omega) = \frac{y_1^{\beta\nu\beta\mu}(t, \omega)}{\beta_\nu \beta_\mu} - \frac{1}{\beta_\mu} \int_0^\omega K_\nu(t, s) ds - \frac{1}{\beta_\nu} \int_\omega^t K_\mu(t, s) ds -$$

$$-\frac{\beta_\nu}{\beta_\mu} \int_{t-\omega}^t \int_{t-\omega}^t \hat{K}_{\nu\nu}(s_1, s_2) ds_1 ds_2 - \frac{\beta_\mu}{\beta_\nu} \int_0^{t-\omega} \int_0^{t-\omega} \hat{K}_{\mu\mu}(s_1, s_2) ds_1 ds_2, \quad (9)$$

$$g_2^{\beta_\nu\beta_\mu}(t, \omega) = \frac{y_2^{\beta_\nu\beta_\mu}(t, \omega)}{\beta_\nu\beta_\mu} - \frac{1}{\beta_\mu} \int_\omega^t K_\nu(t, s) ds - \frac{1}{\beta_\nu} \int_0^\omega K_\mu(t, s) ds -$$

$$-\frac{\beta_\nu}{\beta_\mu} \int_0^{t-\omega} \int_0^{t-\omega} \hat{K}_{\nu\nu}(s_1, s_2) ds_1 ds_2 - \frac{\beta_\mu}{\beta_\nu} \int_{t-\omega}^t \int_{t-\omega}^t \hat{K}_{\mu\mu}(s_1, s_2) ds_1 ds_2. \quad (10)$$

Здесь $y_1^{\beta_\nu\beta_\mu}(t, \omega)$, $y_2^{\beta_\nu\beta_\mu}(t, \omega)$ — отклики системы на сигналы вида (5) и (6) соответственно.

Теорема. *Условия*

$$\left(\frac{\partial^2 y_i^{\beta_\nu\beta_\mu}(t, \omega)}{\partial t \partial \omega} + \frac{\partial^2 y_i^{\beta_\nu\beta_\mu}(t, \omega)}{\partial \omega^2} \right) \in C_\Delta, \quad i = 1, 2, \quad \Delta = \{t, \omega | 0 \leq \omega \leq t \leq T\}, \quad (11)$$

$$y_2^{\beta_\nu\beta_\mu}(t, 0) = y_1^{\beta_\nu\beta_\mu}(t, t) = \frac{\beta_\nu(\alpha_{2,\nu} - \beta_\nu)}{\alpha_{1,\nu}(\alpha_{2,\nu} - \alpha_{1,\nu})} y^{\alpha_{1,\nu}}(t, t) + \frac{\beta_\nu(\beta_\nu - \alpha_{1,\nu})}{\alpha_{2,\nu}(\alpha_{2,\nu} - \alpha_{1,\nu})} y^{\alpha_{2,\nu}}(t, t), \quad (12)$$

$$y_1^{\beta_\nu\beta_\mu}(t, 0) = y_2^{\beta_\nu\beta_\mu}(t, t) = \frac{\beta_\mu(\alpha_{2,\mu} - \beta_\mu)}{\alpha_{1,\mu}(\alpha_{2,\mu} - \alpha_{1,\mu})} y^{\alpha_{1,\mu}}(t, t) + \frac{\beta_\mu(\beta_\mu - \alpha_{1,\mu})}{\alpha_{2,\mu}(\alpha_{2,\mu} - \alpha_{1,\mu})} y^{\alpha_{2,\mu}}(t, t), \quad (13)$$

$$\frac{\beta_\nu(2\alpha_{2,\nu} - \beta_\nu)}{\alpha_{1,\nu}(\alpha_{2,\nu} - \alpha_{1,\nu})} \left(\frac{\partial^2 y^{\alpha_{1,\nu}}(t, \omega)}{\partial t \partial \omega} + \frac{\partial^2 y^{\alpha_{1,\nu}}(t, \omega)}{\partial \omega^2} \right)_{\omega=0} - \left(\frac{\partial^2 y_1^{\beta_\nu\beta_\mu}(t, \omega)}{\partial t \partial \omega} + \frac{\partial^2 y_1^{\beta_\nu\beta_\mu}(t, \omega)}{\partial \omega^2} \right)_{\omega=0} +$$

$$+ \frac{\beta_\nu(\beta_\nu - 2\alpha_{1,\nu})}{\alpha_{2,\nu}(\alpha_{2,\nu} - \alpha_{1,\nu})} \left(\frac{\partial^2 y^{\alpha_{2,\nu}}(t, \omega)}{\partial t \partial \omega} + \frac{\partial^2 y^{\alpha_{2,\nu}}(t, \omega)}{\partial \omega^2} \right)_{\omega=0} =$$

$$= \frac{\beta_\mu(2\alpha_{2,\mu} - \beta_\mu)}{\alpha_{1,\mu}(\alpha_{2,\mu} - \alpha_{1,\mu})} \left(\frac{\partial^2 y^{\alpha_{1,\mu}}(t, \omega)}{\partial t \partial \omega} + \frac{\partial^2 y^{\alpha_{1,\mu}}(t, \omega)}{\partial \omega^2} \right)_{\omega=0} - \left(\frac{\partial^2 y_2^{\beta_\nu\beta_\mu}(t, \omega)}{\partial t \partial \omega} + \frac{\partial^2 y_2^{\beta_\nu\beta_\mu}(t, \omega)}{\partial \omega^2} \right)_{\omega=0} +$$

$$+ \frac{\beta_\mu(\beta_\mu - 2\alpha_{1,\mu})}{\alpha_{2,\mu}(\alpha_{2,\mu} - \alpha_{1,\mu})} \left(\frac{\partial^2 y^{\alpha_{2,\mu}}(t, \omega)}{\partial t \partial \omega} + \frac{\partial^2 y^{\alpha_{2,\mu}}(t, \omega)}{\partial \omega^2} \right)_{\omega=0} \quad (14)$$

необходимы и достаточны для существования решения парного уравнения (7), (8) в классе C_{Ω_2} . Пара

$$\hat{K}_{\nu\nu}(t, t - \omega) = - \left(\frac{\partial^2 g_1^{\beta_\nu\beta_\mu}(t, \omega)}{\partial t \partial \omega} + \frac{\partial^2 g_1^{\beta_\nu\beta_\mu}(t, \omega)}{\partial \omega^2} \right), \quad 0 \leq \omega \leq t \leq T, \quad (15)$$

$$\hat{K}_{\nu\mu}(t - \omega, t) = - \left(\frac{\partial^2 g_2^{\beta_\nu\beta_\mu}(t, \omega)}{\partial t \partial \omega} + \frac{\partial^2 g_2^{\beta_\nu\beta_\mu}(t, \omega)}{\partial \omega^2} \right), \quad 0 \leq \omega \leq t \leq T, \quad (16)$$

определяет решение во всей области Ω_2 .

Доказательство. Воспользуемся результатами [11], согласно которым формулы обращения (15), (16) справедливы тогда и только тогда, когда

$$\left(\frac{\partial^2 g_i^{\beta_\nu\beta_\mu}(t, \omega)}{\partial t \partial \omega} + \frac{\partial^2 g_i^{\beta_\nu\beta_\mu}(t, \omega)}{\partial \omega^2} \right) \in C_\Delta, \quad i = 1, 2, \quad \Delta = \{t, \omega | 0 \leq \omega \leq t \leq T\}, \quad (17)$$

$$g_i^{\beta\nu\beta\mu}(t, 0) = 0, \quad g_i^{\beta\nu\beta\mu}(t, t) = 0, \quad i = 1, 2, \quad t \in [0, T], \quad (18)$$

$$\left(\frac{\partial^2 g_1^{\beta\nu\beta\mu}(t, \omega)}{\partial t \partial \omega} + \frac{\partial^2 g_1^{\beta\nu\beta\mu}(t, \omega)}{\partial \omega^2} \right)_{\omega=0} = \left(\frac{\partial^2 g_2^{\beta\nu\beta\mu}(t, \omega)}{\partial t \partial \omega} + \frac{\partial^2 g_2^{\beta\nu\beta\mu}(t, \omega)}{\partial \omega^2} \right)_{\omega=0}. \quad (19)$$

С учётом (9), (10) из (17)–(19) следуют (11)–(14). \square

2. Программное обеспечение для моделирования нелинейной динамики

Для построения и тестирования интегральных моделей нелинейной динамики теплообмена был создан программно-вычислительный комплекс [18], использующий эталонную модель. Эталоном служило описание процесса теплообмена в элементе теплообменного аппарата (теплообменника) с независимым подводом тепла, представленное в [19]. Согласно [19], отклонение энтальпии на выходе $\Delta i(t)$ (кДж/кг) при произвольных законах возмущений расхода вещества $\Delta \mathcal{D}(t)$ (кг/с) и тепловой нагрузки $\Delta \mathcal{Q}(t)$ (кВт) описывается зависимостью

$$\Delta i_{et}(t) = \frac{\lambda_1 \lambda_2}{\lambda_2 - \lambda_1} \int_0^t \left(\Delta \mathcal{Q}(\eta) - \frac{\mathcal{Q}_0}{\mathcal{D}_0} \Delta \mathcal{D}(\eta) \right) \begin{pmatrix} e^{-\lambda_1 \int_{\eta}^t \mathcal{D}(s) ds} & -e^{-\lambda_2 \int_{\eta}^t \mathcal{D}(s) ds} \end{pmatrix} d\eta, \quad t \in [0, T]. \quad (20)$$

Здесь t — время, λ_1 и λ_2 — некоторые константы, индексами “0” обозначены параметры начального стационарного режима, $\mathcal{D}_0 = 0.16$ (кг/с), $\mathcal{Q}_0 = 100$ (кВт), Δ — приращение, например $\mathcal{D}(t) = \mathcal{D}_0 + \Delta \mathcal{D}(t)$. Числовые характеристики, входящие в (20), принимались соответствующими реальной установке ВТК.

Вычислительный комплекс создан в объектно-ориентированной среде программирования C++ Builder и основан на функционально-модульном принципе. Он включает в себя блоки настройки входных параметров, идентификации и моделирования. Соотношение (20) используется в блоке идентификации для получения необходимого набора откликов на тестовые сигналы, а в блоке моделирования — в качестве эталона для оценки точности интегральных моделей. Процедуры идентификации базируются на разностных аналогах формул обращения, что обеспечивает быстроедействие в режиме “on-line”. Процедуры вычисления откликов интегральных моделей основаны на использовании методов средних прямоугольников и интегрирования произведения. Расчёт выходных значений эталонной модели (20) проводится с помощью метода трапеций. Реализованы функции ввода и оцифровки входных воздействий, отображения результатов вычислительного эксперимента в графической форме. Вся выходная информация хранится в соответствующих файлах на диске и может быть использована для подробного ознакомления и анализа.

Проведём тестирование квадратичной модели (3), где $x(t) = (\Delta \mathcal{D}(t), \Delta \mathcal{Q}(t))$. В ходе вычислительного эксперимента будем учитывать результаты расчётов, полученные с помощью (2), где $N = 2$. С учётом специфики (20) вместо (2) и (3) для $p = 2$ используем соответственно уравнения

$$\Delta i_{1\text{mod}}(t) = \int_0^t \hat{K}_1(s) \Delta \mathcal{D}(t-s) ds + \int_0^t \int_0^t \hat{K}_{11}(s_1, s_2) \Delta \mathcal{D}(t-s_1) \Delta \mathcal{D}(t-s_2) ds_1 ds_2 +$$

$$+ \int_0^t \hat{K}_2(s) \Delta Q(t-s) ds + \int_0^t \int_0^t \hat{K}_{12}(s_1, s_2) \Delta \mathcal{D}(t-s_1) \Delta Q(t-s_2) ds_1 ds_2, \quad t \in [0, T], \quad (21)$$

и

$$\begin{aligned} \Delta i_{2_{\text{mod}}}(t) = & \int_0^t K_1(t, s) \Delta \mathcal{D}(s) ds + \int_0^t \int_0^t \hat{K}_{11}(s_1, s_2) \Delta \mathcal{D}(t-s_1) \Delta \mathcal{D}(t-s_2) ds_1 ds_2 + \\ & + \int_0^t K_2(t, s) \Delta Q(s) ds + \int_0^t \int_0^t \hat{K}_{12}(s_1, s_2) \Delta \mathcal{D}(t-s_1) \Delta Q(t-s_2) ds_1 ds_2, \quad t \in [0, T]. \quad (22) \end{aligned}$$

Введём сетку узлов t_i , $i = \overline{1, n}$, $nh = T$. Пусть $h = 1$ (с) (такой выбор шага связан с реальными данными, полученными в ходе эксперимента на ВТК ИСЭМ СО РАН). С помощью вычислительного комплекса [18] выполняем построение квадратичных моделей (21), (22). В данном программном обеспечении используются алгоритмы численного решения уравнений Вольтерры I рода, основанного на саморегуляризирующем свойстве [20, 21] процедуры дискретизации. Отметим, что в работе [22] проведено подробное исследование применимости простейших кубатурных формул (правых и средних прямоугольников) и методов типа метода Рунге—Кутты для устойчивого решения соответствующих многомерных интегральных уравнений Вольтерры I рода. Следуя [22], в качестве “базовой” используем формулу средних прямоугольников. Такой выбор обусловлен относительной простотой реализации и получением приближенного решения с погрешностью порядка $\mathcal{O}(h^2)$ в случае отсутствия возмущений исходных данных. Считаем далее в качестве допустимого множество $X(B, T)$ входных сигналов вида

$$\Delta \mathcal{D}_\omega^\beta(t) = \beta \mathcal{D}_0(I(t) - 2I(t-\omega) - I(t-T)), \quad \Delta Q(t) = 0, \quad (23)$$

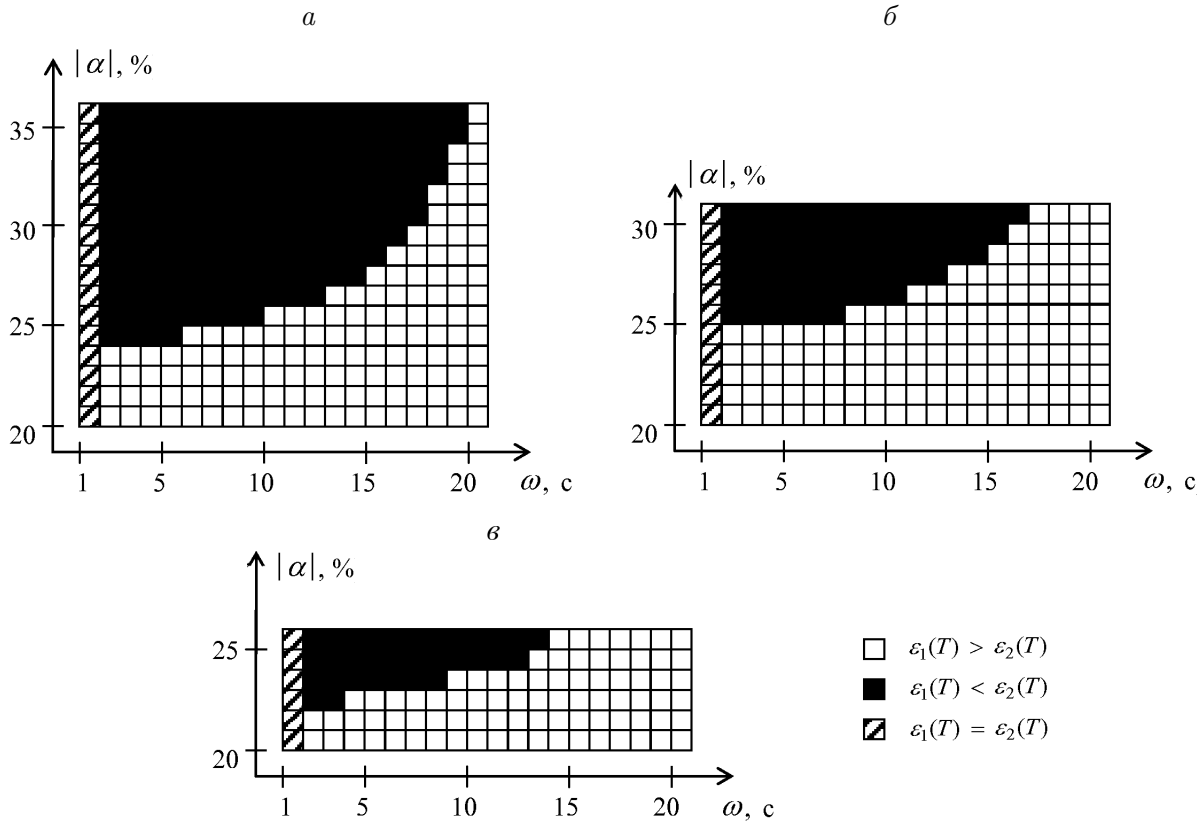
где $\beta \in [0, B]$, $0 \leq \omega < t \leq T$, $B = 35, 30, 25$.

Во многих физических приложениях важно значение выходного сигнала динамического объекта в конце переходного процесса, поэтому в качестве критерия точности моделирования выбираем значения невязок между $\Delta i_{et}^h(t_i)$ и $\Delta i_{1_{\text{mod}}}^h(t_i)$ ($\Delta i_{2_{\text{mod}}}^h(t_i)$) при $t_i = T$

$$\left[\varepsilon_j(t) \right]_{t=T} \triangleq \frac{1}{B} \sum_{\beta=1}^B \frac{|\Delta i_{et}^h(T) - \Delta i_{j_{\text{mod}}}^h(T)|}{\Delta i_{et}^h(T)} 100\%, \quad j = 1, 2. \quad (24)$$

Для сравнения эффективности применения моделей вида (21), (22) были найдены значения $\varepsilon_1(T)$, $\varepsilon_2(T)$ по (24) с точностью $\delta = 10^{-4}$ для $1 \leq \omega \leq 20$, $T = 30$. Рисунок иллюстрирует результаты расчётов. Следует заметить, что области предпочтительности использования того или иного алгоритма не являются универсальными, так как выявлены на основе анализа результатов вычислительных экспериментов, проведённых с использованием одной эталонной модели (20).

Вычисление откликов $\Delta i_{1_{\text{mod}}}^h(t_i)$, $\Delta i_{2_{\text{mod}}}^h(t_i)$ на заданное входное возмущение (23) при $0.0016 \leq \beta \mathcal{D}_0 \leq 0.0016B$ проведено по разностным аналогам (21), (22), ядра Вольтерры в которых настроены на тестовые сигналы с амплитудами $0.032 \leq |\alpha| \mathcal{D}_0 \leq 0.0016B$, от выбора которых существенно зависит точность моделирования исследуемого нелинейного процесса. Естественно, что для обеспечения $\varepsilon_1(T) \equiv \varepsilon_2(T) \equiv 0\%$ требуется согласование амплитуд пробных сигналов с величиной действующих возмущений. Приведём



Результаты вычислительных экспериментов для $B = 35$ (а), 30 (б), 25 (в)

значения невязок для наиболее “неприятных” входных сигналов из множества допустимых. Было получено, что для $B = 25$ $\varepsilon_1(T) \leq 5.62\%$, $\varepsilon_2(T) \leq 5.18\%$, для $B = 30$ $\varepsilon_1(T) \leq 6.89\%$, $\varepsilon_2(T) \leq 6.38\%$, для $B = 35$ $\varepsilon_1(T) \leq 8.41\%$, $\varepsilon_2(T) \leq 7.93\%$.

3. Полиномиальные уравнения Вольтерры в задаче автоматического управления

До сих пор центральной проблемой в работе было восстановление ядер Вольтерры в (3), (22). Допустим, что с помощью того или иного подхода эта проблема решена. В качестве следующего этапа математического моделирования можно рассмотреть типичную задачу автоматического управления динамическим объектом при отсутствии обратной связи — нахождение входного сигнала $x(t)$, которому соответствует заданный отклик $y(t)$. Продолжая исследование, начатое в [23], выберем в качестве управляющего воздействия сигнал $x_1(t) = \Delta \mathcal{D}(t)$. Для определённости входное возмущение $x_2(t) = \Delta \mathcal{Q}(t)$, $t \in [0, T]$, считаем заданным и перепишем (22) в следующем виде:

$$\int_0^t K_1(t, s) \Delta \mathcal{D}(s) ds + \int_0^t \int_0^t \hat{K}_{11}(s_1, s_2) \Delta \mathcal{D}(t - s_1) \Delta \mathcal{D}(t - s_2) ds_1 ds_2 +$$

$$+ \int_0^t \int_0^t \hat{K}_{12}(s_1, s_2) \Delta \mathcal{D}(t - s_1) \Delta \mathcal{Q}(t - s_2) ds_1 ds_2 =$$

$$= \Delta i_{2\text{mod}}(t) - \int_0^t K_2(t, s) \Delta Q(s) ds, \quad t \in [0, T]. \quad (25)$$

При известных K_1 , K_2 , \hat{K}_{11} , \hat{K}_{12} и $y(t) = \Delta i_{2\text{mod}}(t)$ (25) является полиномиальным интегральным уравнением относительно $\Delta \mathcal{D}(t)$. При малом t численное решение (25) заведомо существует [24]. Найдем его кубатурным методом средних прямоугольников. Обоснование сходимости численного решения полиномиального уравнения Вольтерры I рода второй степени, основанного на методе средних прямоугольников, дано в [25].

Введём сетку узлов $t_i = ih$, $t_{i-\frac{1}{2}} = \left(i - \frac{1}{2}\right)h$, $i = \overline{1, n}$, $nh = T$. Аппроксимируем интегралы в (25) суммами. Для вычисления $\Delta \mathcal{D}(t)$ в $\left(i - \frac{1}{2}\right)$ -м узле получим квадратное уравнение относительно $\Delta \mathcal{D}_{i-\frac{1}{2}}^h$

$$\begin{aligned} & h^2 \hat{K}_{11\frac{1}{2}, \frac{1}{2}} \left(\Delta \mathcal{D}_{i-\frac{1}{2}}^h\right)^2 + \left(hK_{1i-\frac{1}{2}, i-\frac{1}{2}} + 2h^2 \sum_{j=2}^i \hat{K}_{11j-\frac{1}{2}, \frac{1}{2}} \Delta \mathcal{D}_{i-j+\frac{1}{2}}^h + \right. \\ & \left. + h^2 \sum_{l=1}^i \hat{K}_{12\frac{1}{2}, l-\frac{1}{2}} \Delta Q_{i-l+\frac{1}{2}}^h\right) \Delta \mathcal{D}_{i-\frac{1}{2}}^h = \Delta i_{2\text{mod}_i}^h - h \sum_{j=1}^i K_{2i-\frac{1}{2}, j-\frac{1}{2}} \Delta Q_{j-\frac{1}{2}}^h - z_i, \end{aligned} \quad (26)$$

где

$$\begin{aligned} z_i &= h \sum_{j=1}^{i-1} K_{1i-\frac{1}{2}, j-\frac{1}{2}} \Delta \mathcal{D}_{j-\frac{1}{2}}^h + h^2 \sum_{j=2}^i \sum_{l=2}^i \hat{K}_{11j-\frac{1}{2}, l-\frac{1}{2}} \Delta \mathcal{D}_{i-j+\frac{1}{2}}^h \Delta \mathcal{D}_{i-l+\frac{1}{2}}^h + \\ & + h^2 \sum_{j=2}^i \sum_{l=1}^i \hat{K}_{12j-\frac{1}{2}, l-\frac{1}{2}} \Delta \mathcal{D}_{i-j+\frac{1}{2}}^h \Delta Q_{i-l+\frac{1}{2}}^h, \quad i = \overline{1, n}. \end{aligned}$$

Выбор нужного корня уравнения (26) определяется условием

$$\Delta \mathcal{D}_{\frac{1}{2}}^h \rightarrow \Delta \mathcal{D}(0) = \frac{\Delta i'_{2\text{mod}}(0)}{K_1(0, 0)} \quad \text{при } h \rightarrow 0. \quad (27)$$

Интересующее нас численное решение уравнения (26) обозначим через $\Delta \mathcal{D}_2^h \left(t_{i-\frac{1}{2}}\right)$.

Рассуждая по аналогии, рассмотрим вместо (21) уравнение

$$\begin{aligned} & \int_0^t \hat{K}_1(s) \Delta \mathcal{D}(t-s) ds + \int_0^t \int_0^t \hat{K}_{11}(s_1, s_2) \Delta \mathcal{D}(t-s_1) \Delta \mathcal{D}(t-s_2) ds_1 ds_2 + \\ & + \int_0^t \int_0^t \hat{K}_{12}(s_1, s_2) \Delta \mathcal{D}(t-s_1) \Delta Q(t-s_2) ds_1 ds_2 = \\ & = \Delta i_{1\text{mod}}(t) - \int_0^t \hat{K}_2(s) \Delta Q(t-s) ds, \quad t \in [0, T], \end{aligned} \quad (28)$$

Т а б л и ц а 1. Значения $\gamma_{1\max}$, при которых существует решение $\Delta\mathcal{D}_1^h(t_i)$, $0 \leq t_i \leq T - h$

T, с	α %, %				
	40	45	50	55	60
30	54.98	55.56	56.68	58.43	61.00
35	53.86	54.55	55.82	57.77	60.63
40	53.12	53.89	55.27	57.37	60.45
45	52.59	53.43	54.90	57.10	60.32
50	52.22	53.11	54.63	56.93	60.26

Т а б л и ц а 2. Значения $\gamma_{2\max}$, при которых существует решение $\Delta\mathcal{D}_2^h(t_i)$, $0 \leq t_i \leq T - h$

T, с	α %, %				
	40	45	50	55	60
30	55.59	56.12	57.17	58.83	61.28
35	54.25	54.98	56.12	58.00	60.76
40	53.38	54.13	55.47	57.51	60.50
45	52.78	53.60	55.03	57.20	60.36
50	52.35	53.23	54.73	56.99	60.28

где $\hat{K}_1, \hat{K}_2, \hat{K}_{11}, \hat{K}_{12}, x_2(t) = \Delta\mathcal{Q}(t)$ и $y(t) = \Delta i_{1\text{mod}}(t)$ известны. Аппроксимируем (28) методом средних прямоугольников и, используя условие типа (27), выполним построение $\Delta\mathcal{D}_1^h(t_{i-\frac{1}{2}})$ (расчётная схема приведена в [23]).

Предположим, что допустимые входные возмущения $\Delta\mathcal{Q}(t) = \gamma\mathcal{Q}_0 I(t)$, $\gamma \leq 0.75$, $t \in [0, T]$. Вычисление управляющих сигналов $\Delta\mathcal{D}_1^h(t_{i-\frac{1}{2}})$, $\Delta\mathcal{D}_2^h(t_{i-\frac{1}{2}})$, обеспечивающих отклики системы $\Delta i_{1\text{mod}_i}^h = 0$, $\Delta i_{2\text{mod}_i}^h = 0$ соответственно, проводилось с помощью уравнений (28), (25), ядра Вольтерры в которых были настроены на тестовые сигналы с амплитудами $|\alpha|\mathcal{D}_0 \leq 0.096$ (кг/с) и $|\alpha|\mathcal{Q}_0 \leq 60$ (кВт). В табл. 1, 2 приведены некоторые результаты вычислительных экспериментов для $i_0 = 434$ (кДж/кг), $h = 1$ (с), $T = 30 \div 50$ (с).

Основная специфика рассматриваемых полиномиальных уравнений Вольтерры I рода (25), (28), как и в скалярном случае, связана с локальностью области существования вещественных непрерывных решений. При вычислении сеточных аппроксимаций $\Delta\mathcal{D}_1(t)$, $\Delta\mathcal{D}_2(t)$, $0 \leq t \leq T$, получено, что специфика (28), (25) проявляется при возмущающих воздействиях $\Delta\mathcal{Q}(t)$ с $\gamma \geq \gamma_{1\max}$ и $\gamma \geq \gamma_{2\max}$ (см. табл. 1, 2), что означает возможную потерю управляемости изучаемого процесса теплообмена. Вычислительные эксперименты показали, что на $\gamma_{1\max}$, $\gamma_{2\max}$ влияет выбор α , используемых для восстановления ядер Вольтерры. Кроме того, из таблиц 1, 2 видно, что при фиксированных значениях T и α имеет место неравенство $\gamma_{1\max} < \gamma_{2\max}$.

Таким образом, в работе теоретически обоснованы необходимые условия существования $\hat{K}_{\nu\mu}$, $\mu = \overline{2, p}$, $\nu = \overline{1, \mu - 1}$, в классе непрерывных на квадрате Ω_2 несимметричных функций. Данный результат получен в терминах амплитуд тестовых сигналов, что в сочетании с серией специальных экстремальных постановок [17] позволит в дальнейшем снять произвол в выборе амплитуд при построении интегральных моделей динамики теплообмена. Рассмотрен алгоритм численного решения полиномиального интегрально-

го уравнения Вольтерры I рода второй степени, возникающего в задаче автоматического регулирования нелинейной динамической системы. Приведены результаты тестовых расчётов для эталонной модели теплообмена. Вычислительные эксперименты проводились с помощью авторского программного обеспечения [18, 26].

Список литературы

- [1] ВОЛЬТЕРРА В. Теория функционалов, интегральных и интегро-дифференциальных уравнений. М.: Наука, 1982. 302 с.
- [2] ВЕНИКОВ В.А., СУХАНОВ О.А. Кибернетические модели электрических систем. М.: Энергоиздат, 1982. 327 с.
- [3] ДАНИЛОВ Л.В., МАТХАНОВ Л.Н., ФИЛИППОВ В.С. Теория нелинейных динамических цепей. М.: Энергоиздат, 1990. 252 с.
- [4] ДЕЙЧ А.М. Методы идентификации динамических систем. М.: Энергия, 1979. 240 с.
- [5] ПУПКОВ К.А., КАПАЛИН В.И., ЮЩЕНКО А.С. Функциональные ряды в теории нелинейных систем. М.: Наука, 1976. 448 с.
- [6] DOYLE III F., PEARSON R., OGUNNAIKE B. Identification and Control Using Volterra Models. Springer-Verlag, 2002.
- [7] RUGH W.J. Nonlinear System Theory: The Volterra—Wiener Approach. Johns Hopkins Univ. Press, 1981.
- [8] OGUNFUNMI T. Adaptive Nonlinear System Identification. The Volterra and Wiener Approaches. Santa Clara Univ., Springer, 2007.
- [9] APARTSYN A.S. Mathematical modelling of the dynamic systems and objects with the help of the Volterra integral series // EPRI-SEI Joint Seminar. Beijing, China, 1991. P. 117–132.
- [10] APARTSYN A.S. On some identification method for nonlinear dynamic systems // ISEMA-92. Shenzhen, China, 1992. P. 288–292.
- [11] АПАРЦИН А.С. Теоремы существования и единственности решений уравнений Вольтерры I рода, связанных с идентификацией нелинейных динамических систем (векторный случай). Иркутск: СЭИ СО РАН, 1996 (Препр. № 8).
- [12] СОЛОДУША С.В. Построение интегральных моделей нелинейных динамических систем с помощью рядов Вольтерра. Автореф. дис. ... канд. физ.-мат. наук. Иркутск: Иркутский гос. ун-т, 1996.
- [13] АПАРЦИН А.С., ТАИРОВ Э.А., СОЛОДУША С.В., ХУДЯКОВ Д.В. Применение интегρο-степенных рядов Вольтерра к моделированию динамики теплообменников // Изв. РАН. Энергетика. 1994. № 3. С. 138–145.
- [14] АПАРЦИН А.С., СОЛОДУША С.В., ТАИРОВ Э.А. Математические модели нелинейной динамики на базе рядов Вольтерра и их приложения // Изв. Академии естественных наук. Математика, матем. моделирование, информатика и управление. 1997. Т. 1, № 2. С. 115–125.
- [15] APARTSYN A.S., SOLODUSHA S.V. Mathematical simulation of nonlinear dynamic systems by Volterra series // Eng. Simulation. 2000. Vol. 17, No. 2. P. 143–153.
- [16] АПАРЦИН А.С. О повышении точности моделирования нелинейных динамических систем полиномами Вольтерра // Электронное моделирование. 2001. Т. 23, № 6. С. 3–12.

- [17] АПАРЦИН А.С., СОЛОДУША С.В. Об оптимизации амплитуд тестовых сигналов при идентификации ядер Вольтерра // Автоматика и телемеханика. 2004. № 3. С. 116–124.
- [18] СОЛОДУША С.В. Программно-вычислительный комплекс для моделирования нелинейной динамики теплообмена на базе квадратичных полиномов Вольтерра: Свид-во о гос. регистрации программ для ЭВМ № 2012614246. 12. 05. 2012.
- [19] ТАИРОВ Э.А. Нелинейное моделирование динамики теплообмена в канале с однофазным теплоносителем // Изв. АН СССР. Энергетика и транспорт. 1989. № 1. С. 150–156.
- [20] АПАРЦИН А.С., БАКУШИНСКИЙ А.Б. Приближенное решение интегральных уравнений Вольтерра I рода методом квадратурных сумм // Дифференциальные и интегральные уравнения. Иркутск: Иркутский гос. ун-т. 1972. Вып. I. С. 248–258.
- [21] АПАРЦИН А.С. Дискретизационные методы регуляризации некоторых интегральных уравнений I рода // Методы численного анализа и оптимизации. Новосибирск: Наука, Сиб. отд-ние. 1987. С. 263–297.
- [22] АПАРЦИН А.С. Неклассические уравнения Вольтерра I рода в интегральных моделях динамических систем: Теория, численные методы, приложение. Дис. ... д-ра физ.-мат. наук. Иркутск: Иркутский гос. ун-т, 2000.
- [23] СОЛОДУША С.В. Приложение нелинейных уравнений Вольтерра I рода к задаче управления динамикой теплообмена // Автоматика и телемеханика. 2011. № 6. С. 133–140.
- [24] АПАРЦИН А.С. Полиномиальные интегральные уравнения Вольтерра I рода и функция Ламберта // Труды Института математики и механики УрО РАН. 2012. Т. 18, № 1. С. 69–81.
- [25] АПАРЦИН А.С. О сходимости численных методов решения билинейного уравнения Вольтерра I рода // Журн. вычисл. математики и матем. физики. 2007. Т. 47, № 8. С. 1378–1386.
- [26] СОЛОДУША С.В. Программное обеспечение и алгоритмы для моделирования нелинейной динамики полиномами Вольтерра // Программные продукты и системы. 2012. № 4. С. 137–141.

*Поступила в редакцию 24 декабря 2012 г.,
с доработки — 6 февраля 2013 г.*